

کاوش‌های ژئوفیزیکی به روش رادار

چکیده

GPR تکنیکی است که برای دیدن موقعیت مواد کم عمق در خاک و سنگ اهمیت ویژه‌ای دارد. باز به داشتن بهتر موقعیت مواد رو بار برای فعالیت‌هایی مثل نمونه گیری‌های ژئوشیمیایی برسی‌های رتوکنیکی، اکتشاف پلاسی، همچنین فاکتورهای کنترل کننده جریان آب‌های زیرزمینی ضروری است و نیاز روزافروزن به تکنیک‌هایی که زیر سطح زمین را با تفکیکی بالاتر از قبل به تصویر بکشد، همیت پیدا کرده است.

این روش به طور موقتی آمیزی برای به نقشه درآوردن عمق آب در دریاچه‌ها، عمق سنگ بستر، چیزه شناسی خاک و عمق سطح ایستایی مورد استفاده قرار گرفته است. همچنین، برای آشکارسازی منفذ و تشخیص شکل‌های کارستی به کار رفته است. تفکیک بالای چیزه شناسی خاک و شکستگی‌ها در سنگ، از مقولات مهم کاربرد مؤثر رادار هستند. از رادار برای به نقشه درآوردن سنگ بستر و تعیین افق‌های خاک در اعماق بیشتر از ۲۰ متر استفاده شده است. نتایج به دست آمده با رادار، با بررسی‌های درون چاهی و نتایج حاصل از برنامه‌های مغزه گیری مطابقت می‌کند. این روش استفاده‌ای گسترشده‌ای را در آینده به خود خواهد دید.

کلید واژه‌ها: رادار نافذ به داخل زمین (GPR)، تفکیک بالا، گمانه‌زنی، پدیده‌ی آرامش.

مقدمه

اوین برداشت‌های GPR در سال ۱۹۲۹ برای گمانه‌زنی عمق یک پیچchal انجام گرفت [Stern, 1929 and 1930]. از آن زمان به بعد، فناوری استفاده از رادار تقریباً فراموش شد تا این که در اواخر دهه ۱۹۵۰، زمانی که رادارهای هوایی آزمایشی ارتش آمریکا قصد داشتند، یخ‌های سرزمین‌های گروئنلند را مطالعه کنند، به علت عدم تشخیص ارتفاعات، هواییما به داخل یخ‌ها سقوط کرد.

این مقدمه‌ای شد برای بررسی توانایی رادار که از طریق گمانه‌زنی‌های دریخ و به نقشه درآوردن خواص مواد، زیر خاک و سطح ایستایی داخل زمین را بینند [Cook 1964; Barringer, 1965; Lundien, 1966]. در سال ۱۹۶۷، سیستمی مشابه گمانه‌زنی «استرن» پیشنهاد و ساخته شد و برای بررسی خواص الکتریکی سنگ‌های سطحی توسط «آپولو ۱۷» روی ماه، مورد استفاده قرار گرفت [Simmons et al, 1972].

برای GPR می‌توان، گمانه‌زنی تفکیک بالا و آشکارسازی شکل‌های در حد چند میلی متر در چند متر را انجام داد. مثلاً، گمانه‌زنی‌های تا اعماق ۵۰ متر در موادی با هدایت‌های پائین کم تراز 1 ms/m ، مانند ماسه، گراول، سنگ و آب شیرین ممکن است. طیف مذکور، در مواد رسانا، مثل رس‌ها، سیلیت‌ها و خاک‌های متخلخل شور، تا چند متر کاوش می‌یابد.



رادار نفوذی در زمین

هوای

خاک

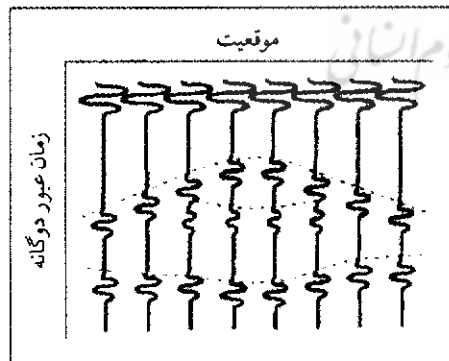
زون غیرعادی

سنگ

شکل ۱. پروفیل زنی انعکاسی به روش رادار، برای تعیین موقعیت خاک رویارو سنگ بستر

در این مثال، خاک و سنگ‌های اطراف و منطقه‌ی بی‌亨جار، خواص الکتریکی متفاوتی دارند. خواص الکتریکی مواد، تعیین کننده‌ی سرعت سیگنال، رقت و میزان انعکاس امواج راداری است.

شکل ۲. رکورد رادار حاصل از موقعیت مشابه شکل ۱



ب) پارامترهای انتشار امواج رادیویی و خواص الکتریکی
سرعت و رقت، فاکتورهای تعیین کننده‌ی انتشار امواج رادیویی فرکانس بالا در زمین هستند. این فاکتورها به خواص دی‌الکتریک و هدایت پذیری مواد وابسته‌اند. ثابت دی‌الکتریک یا قابلیت نفوذپذیری، اصطلاحاتی هستند که برای توصیف

GPR از انتشار امواج الکترومغناطیس و پراکندگی برای به تصویر کشیدن، تعیین موقعیت و تغییرات خواص الکتریکی و مغناطیسی مواد در زمین بهره می‌گیرد و ممکن است از سطح زمین، در داخل چاه، از ماهواره‌ها و غیره انجام شود. در تفسیرهای کمی، برای ارائه مدل اولیه، از داده‌های GPR، شامل اطلاعاتی نظری عمق، جهت، اندازه، شکل اجسام مدفعون، چگالی و میزان آب خاک و خیلی موارد دیگر استفاده می‌شود. پیشرفت‌های جدید در فناوری GPR، توانایی گمانه‌زنی در اعماق بیشتر را افزایش داده است؛ به طوری که این حد تا ۵۴۰ متر ارتقا پیدا کرده است. در حال حاضر، وسائل جدید رادار قابل حمل هستند و به سهولت در صحراء می‌توان از آن‌ها استفاده کرد، و توانایی پیمایش‌های کنترل شده‌ای را در شرایط صحراء بیانی دارند.

اصول

الف) مفاهیم GPR

تکنیک GPR، مشابه اصول روش انعکاس لرزه‌ای و سونا کار می‌کند. رادار، یک پالس کوتاه انرژی الکترومغناطیسی فرکانس بالا (10-1000 MHz) ایجاد می‌کند که به داخل زمین ارسال می‌شود.

انتشار سیگنال‌های رادار بستگی به خواص الکتریکی مواد در زمین دارد. خواص الکتریکی مواد از لحاظ زمین‌شناسی توسط میزان آب کنترل می‌شود [Topp, Davis and Annan, 1980]. تغییر در خواص الکتریکی خاک، معمولاً همراه است با تغییر میزان آب که باعث انعکاسات رادار می‌شود.

رادار در سنگ به تغییرات نوع سنگ و شکستگی‌های پرآب یا خشک حساس است. تغییر در خواص الکتریکی زمین باعث می‌شود، قسمتی از سیگنال ارسالی منعکس شود. سیگنال منعکس شده توسط گیرنده‌ای دریافت، تقویت، رقمی و روی یک ثبات مغناطیسی دیجیتالی انتخاب و آماده برای پردازش و نمایش می‌شود.

خواص الکتریکی آب، 80 dB ، و بیشتر مواد زمین شناسی خشک، در استفاده قرار می‌گیرند. در این فرکانس‌ها، خاصیت پلاریزاسیون بر خواص هدایت پذیری، در بسیاری از مواد زمین شناسی غلبه می‌کند.

ثابت دی الکتریک مختلط به صورت عبارت زیر بیان می‌شود:

$$k^* = k' + ik''' \quad (1)$$

k' بخش حقیقی و $'''k'''$ بخش مجازی ثابت دی الکتریک هستند.

تفکیک $'''k'''$ به مؤلفه‌های فرکانس بالا و هدایت پذیری بخش مجازی، به فرم زیر صورت می‌گیرد:

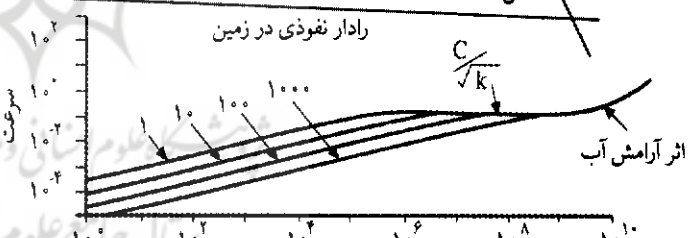
$$k^* = k' + i \left[k'' + \frac{\sigma_{dc}}{\omega \epsilon} \right]$$

۱) فرکانس زاویه‌ای ($2\pi f$)، ۴) نفوذ پذیری خلا

مجازی و مربوط به پاسخ «پدیده‌ی آرامش» است.

شکل ۳، رابطه‌ی بین سرعت و فرکانس در رسانایی‌های متفاوت را نشان می‌دهد. سرعت بین $10\text{ تا }1000$ مگاهرتز، در هدایت‌های کم تراز $100\text{ میلی سایمونز بر متر}$ ، ثابت باقی می‌ماند. سرعت در فرکانس‌های بیش تراز 1000 مگاهرتز، به خاطر پدیده‌ی آرامش مولکول آب، افزایش می‌یابد.

شکل ۳. رابطه‌ی بین سرعت و فرکانس در هدایت‌های متفاوت



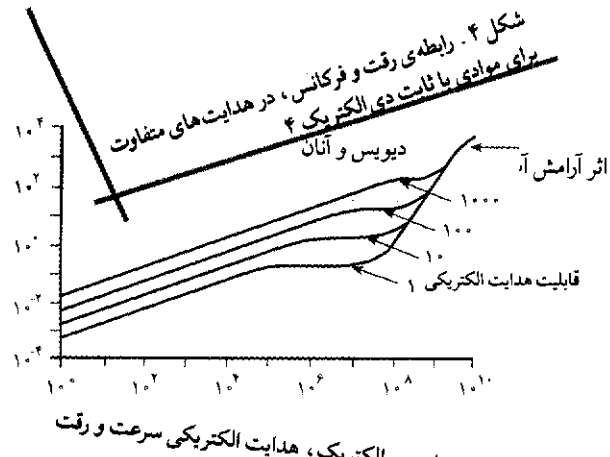
سیگنال‌های راداری شدیداً وابسته به میزان آب موجود در خاک است. رادارها در رفرانس‌هایی که خواص ظرفیتی بر خواص هدایت پذیری غالب باشد، کار می‌کنند و در این صورت رفت در رهایت‌های متفاوت ثابت باقی می‌ماند. رفت سریعاً در فرکانس‌های بالای 100 MHZ به خاطر پدیده‌ی آرامش آب که در 10 مگاهرتز ایجاد می‌شود، افزایش می‌یابد. اثر پراکندگی سیگنال توسط ناهمگنی‌های مقیاس کوچک می‌تواند، با افزایش فرکانس افزایش یابد. در محیطی با سستی کم، رفت به صورت زیر بیان می‌شود:

$$V = \frac{C}{(k')^{\frac{1}{2}}} \quad (4)$$

$C = 3 \times 10^8 \text{ m/s}$ و سرعت انتشار امواج الکترومغناطیسی در خلا است.

جدول ۱، فهرست برخی از مواد زمین شناسی با ثابت‌های دی الکتریک، سرعت، هدایت و رفت در فرکانس‌های راداری را نشان می‌دهد. شایان توجه است که بخش حقیقی ثابت

دی الکتریک آب، 80 dB ، و بیشتر مواد زمین شناسی خشک، در طیف $4-8$ است. این اختلاف زیاد توضیع می‌دهد که چرا سرعت



جدول ۱. ثابت‌های دی الکتریک، هدایت الکتریکی سرعت و رفت

مشاهده‌ای در مواد زمین شناسی معمول در فرکانس 100 Hz

$\alpha(\text{db/m})$	$V(\text{m/ns})$	$\sigma(\text{mS/m})$	K	مواد
۰	$0/30$	۰	۱	هوای
2×10	$0/033$	$0/01$	۸۰	آب مقطار
$0/1$	$0/033$	$0/5$	۸۰	آب شیرین
10^3	$0/01$	3×10^4	۸۰	آب دریا
$0/01$	$0/15$	$0/01$	۳-۵	آب خشک
$0/03-0/03$	$0/06$	$0/1-1/0$	$20-30$	ماشه اشباع شده
$0/4-1$	$0/12$	$0/5-2$	۴-۸	سنگ آهک
$1-100$	$0/09$	$1-100$	۵-۱۵	شیل
$1-100$	$0/07$	$1-100$	۵-۳۰	سیلت
$1-300$	$0/06$	$2-1000$	۵-۴۰	رس
$0/01-1$	$0/13$	$0/01-1$	۴-۶	گرانیت
$0/01-1$	$0/13$	$0/01-1$	۵-۶	نمک خشک
$0/01$	$0/16$	$0/01$	۳-۴	پیخ

سیگنال‌های راداری شدیداً وابسته به میزان آب موجود در خاک است. رادارها در رفرانس‌هایی که خواص ظرفیتی بر خواص هدایت پذیری غالب باشد، کار می‌کنند و در این صورت رفت در رهایت‌های متفاوت ثابت باقی می‌ماند. رفت سریعاً در فرکانس‌های بالای 100 MHZ به خاطر پدیده‌ی آرامش آب که در 10 مگاهرتز ایجاد می‌شود، افزایش می‌یابد. اثر پراکندگی سیگنال توسط ناهمگنی‌های مقیاس کوچک می‌تواند، با افزایش فرکانس افزایش یابد. در محیطی با سستی کم، رفت به صورت زیر بیان می‌شود:

$$\alpha = \frac{1/69 \times 10^3 \sigma}{(k')^{\frac{1}{2}}} \text{ db/m} \quad (4)$$

که:

۴. طبیعت نسبتاً پیوسته‌ی گمانه‌زنی رادار، وسیله‌ی با ارزشی برای اکتشاف در برنامه‌های حفاری محسوب می‌شود. از رادار، یا برای بهینه کردن محل چاه‌ها قبل از حفاری، یا برای توسعه‌ی افقی چاه‌ها پس از حفاری استفاده می‌شود.

۵. روش رادار در طیف گستره‌ای از محیط‌ها، یا در سطح یا در تونل‌ها به کار می‌رود. در معادن، برای نمایان کردن و به نقشه‌دهندن اطراف و سینه‌ی کارهای معدنی می‌توان از آن استفاده کرد.

* کارشناس ارشد زمین‌شناسی

- 1. Relaxation
- 2. Stern
- 3. Art Drake
- 4. Rex Morey

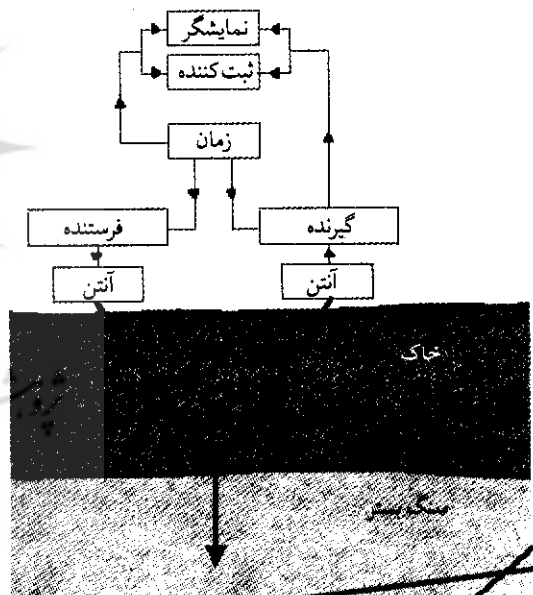
-
منابع:
1. Annan, A.P. and Davis, J.L. (1976). Impulse radar soundings in permafrost. *Radio Science* 11. 383-394.
 2. Annan A.P. and Davis, J.L. (1977). Radar range analysis for geological materials. Report of Activities. Geological Survey of Canada. Paper 77-1B. 117-124.
 3. Annan A.P. and Davis, J.L. (1978) Methodology for radar transillumination experiments. Report of Activities. Geological Survey of Canada. paper 78-1B. 107-110.
 4. Arcone, S.A. (1984). Field observation of electromagnetic pulse propagation in dielectric slabs. *Geophysiss* 49. 1763-1773.
 5. Benson, R.C., Glaccum, R.A. and Noel, M. R (1984). Geophysical techniques for sensing buried wastes and waste migration. US EPA Contract. No. 68-03-3053. Environmental Monitoring System Laboratory. Office of R & D. US EPA. Las Vegas. Nevada 89114.236p.
 6. Davis A.P., Annan, J.L. and Vaughan, C.J. (1985). Placer exploration using radar and seismic methods. Canadian Institute of Mining Bulletin 80 (898). 67-72.
 7. Davis, J.L., Kiley, R.W.D., Annan, A.P. and Vaughan, C.J. (1984). Surface and borehole ground penetrating radar surveys for mapping geological structure. National Water Well Association/Environmental Protection Agency Conference on Surface and Borehole Geophysical Methods in Groundwater Investigation. San Antonio. Texas. 681-721.
 8. Morey, R.M. (1974). Continous subsurface profiling by impulse radar. Proceeding of Engineering Foundations Conference on Subsurface Explorations for Underground Excavations and Heavy Construction. Henniker. New Hampshire. 213-232.
 9. Ohlhoeft, G.R. (1975) the electrical properties of permafrost. Unpublished Ph.D. thesis, University of Toronto.
 10. Olsson, o., Falk, L., Forslund, O., Lundmark, L. and Sandberg, E. (1987). Crosshole investigations-results from borehole radar investigations. Stripa Project TR 87.
 11. Swedish Nuclear Fuel and Waste Management Co. Stockholm.
 11. Ramo.S., Whinnery, J.R. and Van Duzer, T. (1965) Field and Waves in Communication Electronics. John Wiley and Sons.
 12. Topp, G.C., Davis, J.L. and Annan, A.P. (1980). Electromagnetic determination of soil water content: Measurements in coaxial transmission lines. *Water Resources Research* 16(3). 574-582.
 13. Ulruksen, C.P.F. (1982). Application of impulse radar to civil engineering. Unpublished ph.D. thesis, Department of Engineering Geology. University of Technology. Lund.
 14. Von Hippel, A.R. ed. (1954). Dielectric Materials and Applications. John Wiley and Sons.

$$\sigma = \sigma_{dc} + \omega k'' \epsilon.$$

و لازم است که $\omega k'' \epsilon < 1\%$ باشد.

لوازم

لوازم موردنیاز در سیستم‌های GPR شامل چهار واحد اصلی است: فرستنده، گیرنده، کنترل و نمایش. شکل ۵، بلوک دیاگرامی ساده از سیستم GPR را نشان می‌دهد. تغییراتی نیز می‌توان در این سیستم داد تا برای کاربردهای مختلف عملی تر شود. فرستنده، یک پالس با کمترین زمان و ولتاژ بالا ایجاد می‌کند. آتن فرستنده، پالس را به داخل زمین می‌فرستد. این سیگنال به زمین ارسال و به صورت سیگنال منعکس شده به آتن گیرنده بر می‌گردد. گیرنده، سیگنال‌ها را تقویت و توسط واحد کنترل به فرم مشخصی برای نمایش می‌فرستد. بیشتر سیستم‌های GPR در فرکانس‌های مختلف کار می‌کنند. آتن‌ها وسایل محدود کننده‌ی عرض باند هستند و معمولاً از لوازم الکترونیکی فرستنده و گیرنده‌ی مشابهی در بسیاری از آتن‌ها



شکل ۵. بلوک دیاگرامی از یک سیستم GPR

۱. استفاده از وسایل رادار نسبت به چندین سال گذشته، به طور قابل ملاحظه‌ای با حصول نتایجی بالغ بر ۲۰ متر، ارتقا پیدا کرده‌اند.

۲. تکنیک‌های راداری برای گمانه‌زنی‌های تفکیک بالا، در محیط‌های با هدایت الکتریکی، تا بالای ۴۰ متر مورد استفاده قرار می‌گیرند. سطوح لایه‌بندی و مناطق درز و شکاف‌دار در سنگ و لایه‌بندی خاک که چند ده متر ضخامت دارند، در چنین محیط‌هایی آشکار می‌شوند.

۳. طیف و تفکیک GPR، با وجود مواد هادی مثل رس، سیلت یا خاک‌های با آب منفذی رسانا، کاهش می‌یابد.